

A Comparison of the Effect of Vitrification on the Morphology of Stimulated and Non-stimulated Human Ovaries

Mahdi Ramezani¹, Mojdeh Salehnia^{2*}, Mina Jafarabadi³

1- Ph.D. Candidate, Department of Anatomy, Faculty of Medical Sciences, Tarbiat Modares University, Tehran, Iran

2- Professor, Department of Anatomy, Faculty of Medical Sciences, Tarbiat Modares University, Tehran, Iran

3- Assistant Professor, Infertility and Reproductive Health Research Center (IRHRC), Imam Khomeini Hospital, Tehran University of Medical Sciences, Tehran, Iran

*Corresponding Address: Postal Code: 1411713116, Department of Anatomy, Faculty of Medical Sciences, Tarbiat Modares University, Tehran, Iran
Email: salehnim@modares.ac.ir

Received: 14/Mar/2015, Accepted: 07/Oct/2015

Abstract

Objective: This study aimed to evaluate the effect of vitrification on the morphology of human ovarian tissue in a stimulated group compared to a non-stimulated group.

Methods: Ovarian cortex biopsies collected from stimulated and non-stimulated groups were transported to the laboratory in L-15 medium. Biopsies were cut into small pieces and divided randomly into the vitrified and non-vitrified subgroups. The vitrified-warmed and fresh samples were fixed using Bouin's solution, then passaged, sectioned and stained with hematoxylin and eosin and Masson's trichrome. The follicles at different developmental stages were counted and evaluated.

Results: Morphological observations showed that the follicles and stromal tissue had well preserved normal structures after vitrification and warming. The percentage of normal follicles in the non-stimulated non-vitrified group was 89.22%; for the non-stimulated vitrified group, it was 84.60%. In previous groups the proportion of primordial follicles were $68.7 \pm 1.60\%$ and $67.80 \pm 3.71\%$, primary follicles were $28.60 \pm 1.72\%$ and $29.40 \pm 3.51\%$, and secondary follicles were $3.60 \pm 0.66\%$ and $2.70 \pm 1.20\%$, respectively. The percentage of normal follicles in the stimulated non-vitrified group was 88.18%; for the stimulated vitrified group, it was 84.19%. In stimulated non-vitrified and stimulated vitrified groups the proportion of primordial follicles were $49.70 \pm 4.13\%$ and $49.34 \pm 2.86\%$, primary follicles were $44.50 \pm 3.83\%$ and $44.72 \pm 2.68\%$, and secondary follicles were $5.60 \pm 0.72\%$ and $5.91 \pm 0.77\%$, respectively. There was no significant difference between the vitrified and non-vitrified and stimulated and non-stimulated groups.

Conclusion: Vitrification had no harmful effect on the morphology of stimulated human ovarian tissue and stroma and ovarain tissue structure was similar to the non-stimulated group. This method could be a good alternative for fertility preservation.

Keywords: Vitrification, Human ovary, Ovarian stimulation

Modares Journal of Medical Sciences: *Pathobiology*, Vol. 18 (2015-2016), No.3, Pages: 15-26

مقایسه اثر انجماد شیشه‌ای بر ساختار تخدمان‌های انسانی تحریک تخمک گذاری شده و نشده

مهدی رمضانی^۱, مژده صالح نیا^{*۲}, مینا جعفر آبادی^۳

۱- دانشجوی دکتری تخصصی، گروه علوم تشریح، دانشکده علوم پزشکی، دانشگاه تربیت مدرس، تهران، ایران

۲- استاد، گروه علوم تشریح، دانشکده علوم پزشکی، دانشگاه تربیت مدرس، تهران، ایران

۳- استادیار، مرکز تحقیقاتی باروری و ناباروری، بیمارستان امام خمینی، دانشگاه علوم پزشکی تهران، تهران، ایران

*آدرس نویسنده مسئول: ایران، تهران، کدپستی: ۱۴۱۱۷۱۳۱۶، دانشگاه تربیت مدرس، دانشکده علوم پزشکی، گروه علوم تشریح
Email: salehni@modares.ac.ir

پذیرش مقاله: ۹۴/۰۷/۱۵

دریافت مقاله: ۹۳/۱۲/۲۴

چکیده

هدف: هدف از این مطالعه بررسی تأثیر انجماد شیشه‌ای بر ساختار تخدمان‌های انسانی تحریک شده در مقایسه با تحریک نشده بود.

مواد و روش‌ها: قطعات بافت تخدمان انسانی از دو گروه تحریک شده و تحریک نشده گرفته شد و در محیط L-15 به آزمایشگاه منتقل شد. سپس به صورت نوارهای کوچک بریده و در هر گروه به صورت شانسی به دو زیر گروه غیر انجمادی و انجمادی تقسیم شد. نمونه‌های متجمد و ذوب شده و گروه شاهد در محلول بوئن تثبیت و پس از پاساز بافتی و برش گیری با رنگ‌آمیزی هماتوکسیلین-ائزین و تری کروم ماسون رنگ شد. فولیکول‌ها در مراحل مختلف رشدی شمارش و همه گروه‌ها مقایسه شدند.

نتایج: مشاهدات ریخت شناسی بیان گر حفظ ساختار طبیعی فولیکول‌ها و استرومای بعد از انجماد ذوب بود. میزان فولیکول‌های طبیعی در گروه تحریک نشده غیر انجمادی به ترتیب $۸۹/۲۲$ و $۸۴/۶۰$ درصد بود که از این تعداد در دو گروه به ترتیب $۱/۶۰ \pm ۶/۸۰$ و $۳/۷۱ \pm ۲/۷۰$ درصد فولیکول‌های بدوي، $۱/۷۲ \pm ۲/۸۰$ و $۳/۵۱ \pm ۲/۷۰$ درصد فولیکول اولیه و $۰/۶۶ \pm ۰/۲۰$ و $۱/۲۰ \pm ۲/۷۰$ درصد فولیکول ثانویه بود. در گروه تحریک شده غیر انجمادی و انجمادی نیز به ترتیب، $۸۸/۱۸$ و $۸۴/۱۹$ درصد فولیکول‌ها طبیعی بودند که از این تعداد $۴/۱۳ \pm ۴/۹۰$ و $۴/۹۴ \pm ۴/۹۰$ درصد ثانویه بود. بین دو درصد بدوي، $۳/۸۳ \pm ۴/۴۰$ و $۴/۴۰ \pm ۲/۶۸$ درصد اولیه و $۰/۷۷ \pm ۰/۷۰$ و $۵/۶۰ \pm ۵/۹۱$ درصد ثانویه بود. بین دو گروه انجمادی و غیر انجمادی و بین گروه تحریک شده و نشده تفاوت معنی‌داری دیده نشد.

نتیجه‌گیری: انجماد شیشه‌ای تأثیر منفی بر ریخت شناسی و بافت استرومای تخدمان تحریک شده نداشت و ساختار آن مشابه گروه غیر تحریکی به خوبی حفظ شده بود. این روش می‌تواند برای حفظ باروری مناسب باشد.

کلیدواژگان: انجماد شیشه‌ای، تخدمان انسانی، تحریک تخمک گذاری

————— مجله علوم پزشکی مدرس: آسیب شناسی زیستی، دوره ۱۸، شماره ۳، پاییز ۱۴۹۴، صفحات: ۱۵-۲۶

مقدمه

امروزه محققین به دنبال روش‌های مناسبی به منظور حفظ تخدمان است. با نگرش به این‌که در بیشتر موارد زمان لازم برای تهیه تعداد مناسب تخمک برای انجماد وجود ندارد، از قدرت باروری افراد هستند. از جمله این روش‌ها روش‌های تحریک تخمک گذاری

انجماد شیشه‌ای تخدمان انسانی تحریک شده

ضد یخ‌های مانند دی‌متیل سولفوکساید (Dimethyl sulfoxide: DMSO)، پروپاندیول (Propanediol: PROH)، اتیلن گلیکول (Ethylene glycol: EG) با هم و افزایش مرحله به مرحله غلاظت آن‌ها، آب‌گیری کافی را برای شیشه‌ای شدن موفق همه اجزای بافت تخدمان فراهم می‌آورد [۱۶]. در تحقیقات دیگری نیز عنوان شد که انجماد شیشه‌ای بافت تخدمان، تغییرات کمی را در سطح ساختاری و فراساختار بافت تخدمانی می‌گذارد و روشنی مناسب برای انجماد بافت تخدمان خواهد بود [۱۶].

ارزیابی‌های میکروسکوپ الکترونی TEM (Transmission electron microscopy) نیز نشان داد که اندامک‌های موجود در سلول‌های گرانولوزا و تخمک و همچنین بافت استرومایی تخدمان به خوبی در روش انجماد شیشه‌ای حفظ شده‌اند و فراساختار تخمک در بافت انجماد شیشه‌ای شده مشابه با بافت غیر انجمادی بود [۱۶]. با توجه به این‌که سلول‌های استرومایی نقش مهمی را در تکثیر (Proliferation) و تمايز سلول‌های گرانولوزا ایفا می‌کنند، بنابراین حفظ آن‌ها در فرآیند انجماد بسیار مهم است [۹-۱۲]. بافت تخدمان مجموعه‌ای از فولیکول‌ها در مراحل مختلف رشد است که فولیکول‌های بدوى بیش از ۹۰ درصد جمعیت فولیکولی را به خود اختصاص می‌دهند. این فولیکول‌ها میزان فعالیت متابولیکی کمی داشته و اندازه آن‌ها کوچک است و قادر منطقه شفاف و گرانول‌های قشری هستند و مقدار کمی لیپید درون سیتوپلاسمی حساس به سرما، داخل تخمک آن‌ها پیدا می‌شود [۱۷]. مشکل اساسی در مورد نمونه انسانی این است که با تعداد کم فولیکول بدوى در حال رشد روبرو است و حدود ۶ ماه یا ۲۰۰ روز به طول می‌انجامد تا فولیکول بدوى به فولیکول گراف (Graafian follicle) برسد و همچنین شروع فعالیت رشدی فولیکولی (Initiation) در محیط *in vitro* کند است. در این تحقیق سعی بر این بوده که با تحریک تخمک گذاری، فعالیت رشدی فولیکول‌های بدوى را در بدن فرد (*in vivo*) شروع کرده تا جامعه فولیکولی در حال رشد افزایش یابد و

این رو پیش از شیمی درمانی یا پرتو درمانی (Radiotherapy) لازم است بافت تخدمان از بدن فرد بیمار خارج و منجمد شده تا در شرایط مناسب دوباره به بدن فرد برگردانه شود و حدود ۴-۵ ماه بعد از پیوند، فعالیت بافت تخدمان از سرگرفته شود [۱]. انجماد بافت تخدمان اساساً فرآیند پیچیده‌تری نسبت به انجماد جنین و گامت است چون نیاز به حفظ چندین نوع سلول (اووسیت، سلول گرانولوزا، سلول تکا Theca) و استرومای (Stroma) است. در انجماد بافت تخدمان باید تا حد امکان از میزان تشکیل کریستال یخ داخل و خارج سلولی طی انجماد و ذوب کاسته شود [۲] تا بقای فولیکولی، یکپارچگی اجزای بافتی و ارتباط سلول-سلول حفظ شود [۳، ۴]. در روش انجماد شیشه‌ای که بیشتر استفاده می‌شود از غلظت بالای ضد یخ استفاده می‌شود تا به سرعت آب از سلول خارج شده و در هین انجماد محیط اطراف سلول به یکباره تبدیل به شیشه شود [۵، ۶]. اولین بار انجماد شیشه‌ای تخدمان انسانی توسط ژانگ (Zhang) ارایه شد [۷]. در طول چند سال اخیر بارها روش انجماد شیشه‌ای بافت تخدمان انسانی به کار گرفته شده است [۹-۱۲]. بسیاری از محققین محلول‌های مختلف و سیستم‌های حامل مختلف را برای انجماد شیشه‌ای به کار برده‌اند و اثر آن را روی بافت تخدمان انسانی بررسی کرده‌اند و نتایج حاصل از این تحقیقات متناقض است [۸-۱۳]. دیتریچ (Dittrich) در سال ۲۰۰۷ عنوان کرد که به دلیل انجماد سریع بافت طی انجماد شیشه‌ای، امکان توزیع یکنواخت و یکسان ضد یخ در بافت وجود ندارد و بنابراین بافت تخدمان طی انجماد شیشه‌ای آسیب می‌بیند [۱۴]. کاگاوا (Kagawa) در سال ۲۰۰۹ میزان بقای تخمک‌ها در بافت تخدمان را قبل و بعد از انجماد شیشه‌ای مقایسه نمود. نتایج نشان داد که میزان بقای تخمک‌ها پس از انجماد شیشه‌ای ۸۹ درصد بود و با میزان بقای تخمک‌ها در نمونه‌های غیرانجمادی اختلاف معنی‌داری نداشت: در حالی که بقای تخمک‌ها در بافت تخدمان انسان منجمد شده به روش انجماد آهسته تقریباً ۵۰ درصد گزارش شده است [۱۵]. شیخی (Shiichi) در سال ۲۰۱۱ نشان داد که استفاده از ترکیب

کمیته اخلاق پژوهشی دانشگاه تربیت مدرس، نمونه‌های تخدمان زنانی که تحت عمل تغییر جنسیت قرار گرفته بودند، دریافت شد. سن زنان بین ۲۰ تا ۳۵ بود، ظاهر عمومی ایشان کاملاً زنانه، عادت ماهیانه مرتب داشتند و بر اساس آزمایش ژنتیکی، کاربوبوتیپ موجود در پرونده ۲۰ بود. همچنین آزمایش‌های هورمونی موجود در پرونده نیز کاملاً طبیعی بوده و سابقه مصرف داروی هورمونی را ذکر نکرده بودند (این گروه تا حد امکان از تستوسترون استفاده نکرده بودند). این مطالعه در دو گروه انجام شد: گروه تحریک تخدمک گذاری نشده (۵ فرد) و گروه تحریک تخدمک گذاری شده (۵ فرد).

تحریک تخدمک گذاری

به منظور تحریک تخدمان برای تحریک تخدمک گذاری، از داروی کلومیفن سیترات (Clomiphene citrate) استفاده شد. میزان مصرف دارو با دز ۵۰ میلی گرم، به مدت ۵ روز و بین روزهای ۲ تا ۵ پس از قاعده‌گی بود [۲۵]. تخدمان‌های به دست آمده از این افراد به مانند گروه تحریک نشده، به دو زیر گروه غیر انجمامی و انجمامی تقسیم شدند.

جمع آوری تخدمان

تخدمان‌ها تحت شرایط استریل در مدت زمان کمتر از ۲ ساعت توسط یک فالکن ۵۰ میلی لیتری که حاوی ۳۰ تا ۴۰ میلی لیتر از محیط کشت L15 بود در دمای ۴ درجه سانتی گراد به آزمایشگاه منتقل شدند [۲۶]. سپس نمونه تخدمان دریافنی به یک پتری دیش ۱۰ سانتی که حاوی محیط کشت L15 به همراه Human Serum Albumin (HAS) (۲۱/۰ درصد) بود، منتقل و با استفاده از اسکالپل بافت کورتکس تخدمان جدا شد و به صورت نوارهای باریک کوچک با ابعاد تقریبی 1×2 میلی‌متر بریده شد (۷۶ قطعه در گروه تحریک شده و ۷۲ قطعه در گروه تحریک نشده). پس از شستشو در محیط کشت،

سپس با انجام انجمام و ذوب در گروه‌های مورد مطالعه، تأثیر تحریک بر ساختار فولیکول‌ها بررسی شود ولی آیا بافت تخدمان تحریک شده پاسخ‌گویی مناسبی را به روش انجمام خواهد داشت و طی روند انجمام و ذوب تغییرات بافتی در آن رخ می‌دهد یا نه؟ تاکنون گزارشی مبنی بر بررسی این موارد ارایه نشده است. در بررسی مقالات در زمینه تحریک تخدمک گذاری مشخص شده که این روش در زمینه‌های مختلفی از قبیل: بروز ژن‌های تکوینی، عملکرد تخدمانی، تغییر سطح هورمونی در مایع فولیکولی و همچنین میزان پذیرش جنین طی لانه گزینی نقش داشته [۱۸-۲۴] ولی تا به حال گزارشی مبنی بر بررسی ساختار و جامعه فولیکولی حاصل از تحریک تخدمک گذاری بعد از انجمام و ذوب قید نشده است. این احتمال می‌رود که فرآیند انجمام و ذوب نمونه‌های تحریک تخدمک گذاری شده، آثار متفاوتی را روی ریخت شناسی (Morphology) بافت بگذارد. در این مطالعه سعی شده تا با تحریک تخدمک گذاری، شروع رشد فولیکولی را در بدن فرد شروع و جامعه فولیکولی در حال رشد را افزایش یابد و سپس تأثیر انجمام و ذوب روی ساختار بافتی تخدمان و جمعیت فولیکول‌ها بررسی شود.

مواد و روش‌ها

کلیه مواد مصرفی در این تحقیق از شرکت Sigma-Aldrich (آلمان) تهیه و فراهم شده است.

طراحی تحقیق

این تحقیق به منظور بررسی تأثیر انجمام شیشه‌ای بر ساختار بافتی تخدمان و جمعیت فولیکول‌های تخدمان‌های انسانی تحریک شده و نشده در مقایسه با گروه غیر انجمامی طراحی شده است.

جمع آوری بافت تخدمان انسانی

پس از تکمیل فرم رضایت آگاهانه توسط افراد و تأیید

انجماد شیشه‌ای تخدمان انسانی تحریک شده

کمک پس برداشته و به ترتیب به قطرات ساکارز نزولی و PB1 که از قبل آماده شده بودند، منتقل شدند. کل زمان آب‌دهی ۵ دقیقه بود. برای شستشو و حذف محلول ضد یخ، قطعات بافت تخدمانی از کرایوتیوب‌ها به پتری دیش حاوی ساکارزهای نزولی ۱ و ۰/۵ مول و PB1 منتقل شدند و پس از ذوب در محیط تعادلی به مدت ۳۰ دقیقه، مطالعات بعدی انجام شد.

مطالعه ریخت شناسی با رنگ آمیزی هماتوکسیلین و ائوزین

از هر نمونه بافت تخدمان در دو گروه تحریک تخمک گذاری شده و نشده، برای مطالعات ریخت‌شناختی نمونه بافتی به روش هماتوکسیلین و ائوزین (H&E) به تعداد ۱۵-۱۴ قطعه در دو زیر گروه انجمادی و غیر انجمادی به صورت شناسی انتخاب شدند و تثیت بافت تخدمانی به وسیله محلول بوئن (Bouin) و به مدت ۱۲ ساعت صورت گرفت. سپس قطعات بافت تخدمانی در درصدهای صعودی از اتانول (۷۰ تا ۱۰۰ درصد) آب‌گیری و در داخل پارافین فرو بردۀ شدند. از بلوك‌های پارافینی تهیه شده، برش‌های بافتی توسط میکروتوم و به صورت سریالی با ضخامت ۵ میکرومتر زده شد. برش‌ها به صورت سریال زده شد و با فاصله ۱۰ تایی برش‌های بافتی جمع‌آوری شد. برش‌های انتخاب شده کنار هم روی لام قرار گرفت و پس از حذف پارافین، توسط هماتوکسیلین و ائوزین رنگ آمیزی شد. همچنین یک سری اضافه از لام‌ها برای رنگ آمیزی با تری کروم ماسون (Trichrome masson) جمع‌آوری شد.

رنگ آمیزی تری کروم ماسون

از این رنگ آمیزی برای بررسی بهتر بافت استرومای تخدمان استفاده شد. در این روش از سه محلول برای رنگ آمیزی کلاژن، سیتوپلاسم و هسته سلول استفاده شد. در این مرحله نیز پس از ثبوت نمونه‌ها در بوئن و تهیه قالب‌های پارافینی از آن‌ها و برش‌گیری با ضخامت ۵ میکرومتر و جمع‌آوری نمونه‌ها مثل

تعدادی از قطعات به صورت شانسی به عنوان گروه انجمادی به روش انجماد شیشه‌ای منجمد و قطعات دیگر به عنوان گروه غیر انجمادی به صورت تازه بررسی شدند.

انجماد شیشه‌ای بافت تخدمان

بافت تخدمانی گروه تحریک شده از ۵ فرد و گروه تحریک نشده نیز از ۵ فرد به دست آمد. سپس از هر کدام از این تخدمان‌ها حداقل ۱۵ قطعه تهیه شد. انجماد شیشه‌ای بافت تخدمان با استفاده از ضد یخ EFS40، Ethyleneglycol, Ficoll and sucrose درصد اتیلن گلیکول، ۳۰ درصد فایکول ۷۰ (وزنی / حجمی) و ۱ مول ساکارز بود که با ۲۰ درصد سرم آلبومین انسانی تکمیل شده است. بافت تخدمان انسانی طی سه بار تعویض محلول‌های انجمادی به مدت ۵ دقیقه به تعادل رسید. به دنبال آن قطعات بافتی به ویال‌های انجمادی حاوی ۱۰۰ میکرولیتر محلول انجمادی منتقل شد. سپس لوله انجمادی حاوی قطعات تخدمان به مدت ۳۰ ثانیه در معرض بخار نیتروژن قرار گرفتند و در نهایت در تانک نیتروژن غوطه ور شدند. کل زمان آب‌گیری ۵ دقیقه بود.

ذوب بافت تخدمان انسانی

ذوب به روش سریع و به کمک محلول‌های ساکارز با غلظت نزولی و Phosphate Buffer (PBI) به ترتیب زیر انجام شد [۲۷]. محلول‌های ساکارز ۱ و ۰/۵ مول در PB1 ساخته شد و سپس زیر هود با فیلتر ۰/۲۲ میکرومتر فیلتر و در دمای ۴ درجه سانتی گراد نگهداری شد. مراحل ذوب قطعات بافت تخدمان بدین ترتیب بود که ابتدا لوله‌های انجمادی حاوی قطعات بافت تخدمان از ازت مایع بیرون آورده شد و ۳۰ ثانیه در بخار ازت و سپس به مدت ۳۰ ثانیه در درجه حرارت آزمایشگاه نگه داشته شد. در مرحله بعد، کرایوتیوب‌ها در آب ۲۵ درجه سانتی گراد قرار داده شد تا زمانی که محلول درون کرایوتیوب‌ها ذوب شود. بالا فاصله قطعات بافت تخدمان به

بررسی آماری

بررسی آماری به وسیله نرم افزار SPSS نسخه ۱۹ انجام شد. متغیرهای کمی به صورت میانگین \pm انحراف معیار Independent T- (Means \pm SD) بیان شد. آزمون T مستقل (Independent T-Test) برای مقایسه میزان فولیکول‌ها در مراحل مختلف تکوین و طبیعی بودن فولیکول‌ها بین گروه‌های تحریک شده و نشده در دو زیر گروه غیر انجامدادی و انجامدادی استفاده شد. $P \leq 0.05$ به عنوان سطح معنی‌داری در نظر گرفته شد.

نتایج

ریخت‌شناسی تخدمان‌های تحریک شده و نشده با رنگ‌آمیزی H&E و تری کروم ماسون

ریخت‌شناسی بافت تخدمان در گروه تحریک نشده در شکل ۱ آورده شده است. فولیکول بدبو و اوپلیه شامل یک تخمک گرد است که توسط یک لایه از سلول‌های پیره گرانولوزا و گرانولوزا احاطه شده است. تصاویر به دست آمده از رنگ‌آمیزی تری کروم ماسون نیز نشان داد که بافت استرومای تخدمان پس از انجاماد شیشه‌ای مشابه با گروه غیر انجامدادی بود. سلول‌های استرومما با هسته دوکی شکل دیده می‌شوند که هسته یوکروماتین دارند. همان گونه که در شکل ۱ دیده می‌شود، رشته‌های کلاژن به صورت متراکم و پراکنده در لابه‌لای بافت دیده می‌شود.

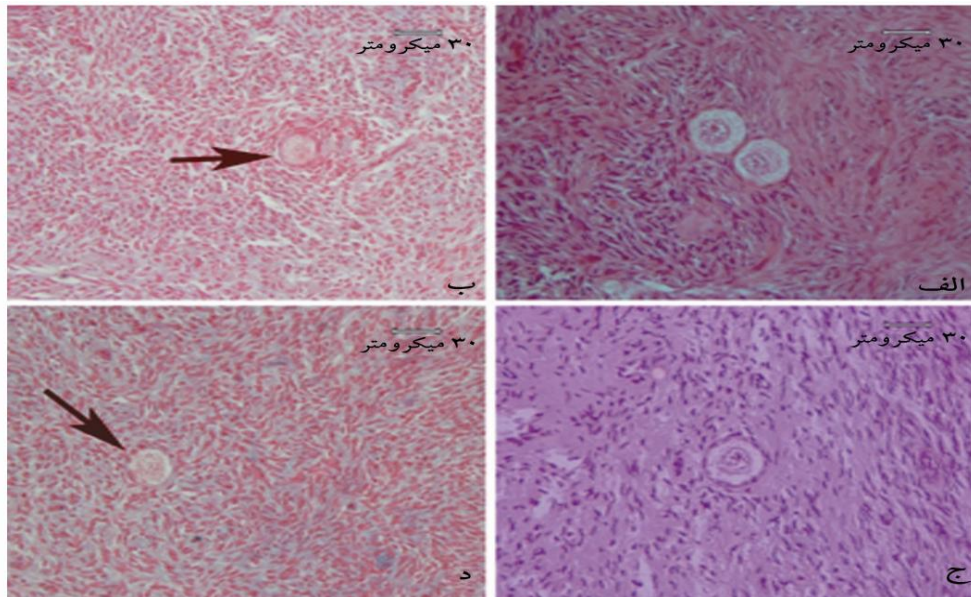
تصاویر ارایه شده در شکل ۲ مربوط به گروه تحریک شده است. در این تصویر به نظر می‌آید که تعداد فولیکول‌ها در هر میدان دید میکروسکوپی بیشتر از گروه تحریک نشده است و در عین حال ریخت‌شناسی بافت از نظر نمای بافتی شبیه گروه تحریک نشده است. همان گونه که در تصاویر دیده می‌شود طی انجاماد و ذوب، یکپارچگی فولیکولی و ساختار بافت استرومما به خوبی حفظ شده است.

مراحل قبل، لامهای تهیه شده پس از آب‌دهی توسط الكل نزولی تا آب آورده شد و سپس به مدت ۳۰ ثانیه وارد محلول اول [پونسدوآر (Ponceau 2R)] درصد در اسید استیک ۱ درصد به میزان دو قسمت به همراه اسید فوشین (Fuchsin) ۱ درصد در اسید استیک ۱ درصد به میزان یک قسمت] شد. پس از شستشو در آب مقطر به محلول دوم که اسید فسفومولیبدیگ (Phosphomolybdic acid) ۱ درصد است متقل شد. سپس در اسید کلریدریک ۱ درصد برده شد و در نهایت به مدت ۳۰ ثانیه وارد محلول سوم که فاست گرین (Fast green) ۲ درصد است، برده شد. در نهایت با چسب انتالان (Entellan)، لام‌ها آماده شد [۲۸]. نتیجه حاصل به این گونه بود که: هسته به رنگ سیاه، عضلات و بعضی از گرانول‌های سیتوپلاسم به رنگ قرمز و کلاژن به رنگ سبز یا آبی بر اساس رنگ افتراقی دیده شد.

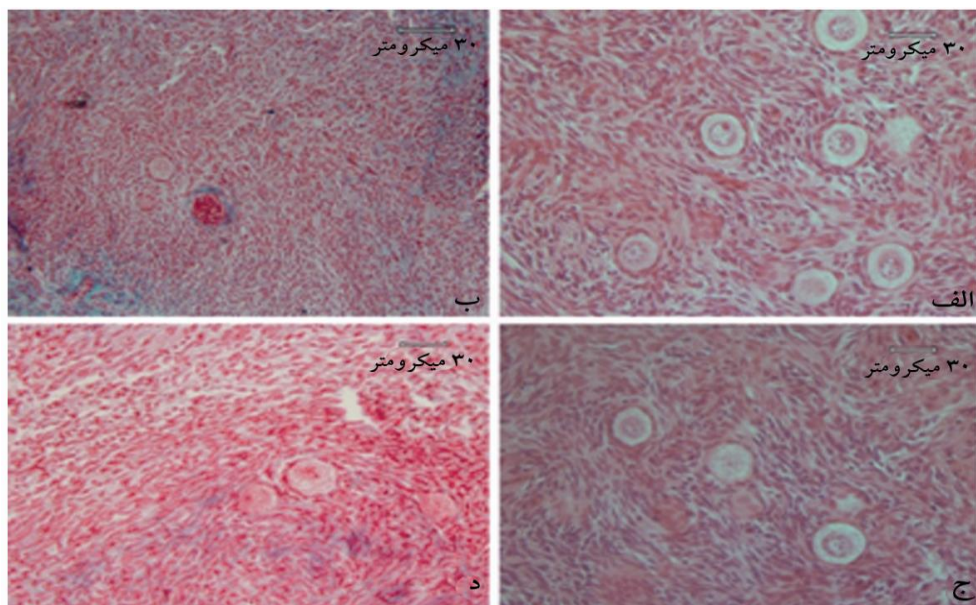
شمارش فولیکولی

فولیکول‌ها بر اساس تعداد لایه‌ها و ریخت‌شناسی سلول‌های گرانولوزا به صورت گروه‌های زیر تقسیم بندی شدند: فولیکول بدبو (یک لایه سلول گرانولوزای پهن در اطراف تخمک وجود دارد)، فولیکول اولیه (یک لایه سلول گرانولوزای مکعبی در اطراف تخمک وجود دارد)، فولیکول ثانویه (دو یا تعداد بیشتری لایه سلول گرانولوزای مکعبی در اطراف تخمک وجود دارد)، فولیکول آنترال (یک حفره پر از مایع در داخل فولیکول وجود دارد) و فولیکول آتریک (Atretic follicle) (تخمک با یک هسته تخریب شده و سلول‌های گرانولوزای از بین رفته) [۲۹-۳۱]. براساس این تقسیم بندی شمارش فولیکول‌ها صورت گرفت و تعداد فولیکول‌های هر مرحله دریافت تخدمان ارزیابی شد. همچنین میزان طبیعی بودن فولیکول‌ها بررسی شد. فولیکول‌های طبیعی دارای سلول گرانولوزای سالم با رنگ پدیری طبیعی بودند. از دست دادن زودرس تخمک، تیره رنگ شدن فولیکول و سلول‌های گرانولوزای جدا شده به عنوان فولیکول تخریب شده در نظر گرفته شد.

انجماد شیشهای تخدان انسانی تحریک شده



شکل ۱ تصاویر میکروسکوپ نوری بافت تخدان انسانی رنگ‌آمیزی شده با هماتوکسیلین و اوزین و تری کروم ماسون که ریخت شناسی طبیعی فولیکول‌های تخدانی را در گروه تحریک نشده در دوزیر گروه غیر انجمادی و انجمادی نشان می‌دهد. (الف) گروه غیر انجمادی تحریک نشده با H&E، (ب) گروه غیر انجمادی تحریک نشده با تری کروم ماسون (نوك پیکان فولیکول تخدانی را نشان می‌دهد)، (ج) گروه انجمادی تحریک نشده با H&E، (د) گروه انجمادی تحریک نشده با تری کروم ماسون (نوك پیکان فولیکول تخدانی را نشان می‌دهد).



شکل ۲ تصاویر میکروسکوپ نوری بافت تخدان انسانی رنگ‌آمیزی شده با هماتوکسیلین و اوزین و تریکروم ماسون که ریخت شناسی طبیعی فولیکول‌های تخدانی را در گروه تحریک شده در دوزیر گروه غیر انجمادی و انجمادی نشان می‌دهد. (الف) گروه غیر انجمادی تحریک شده با H&E، (ب) گروه غیر انجمادی تحریک شده با تری کروم ماسون، (ج) گروه انجمادی تحریک شده با H&E، (د) گروه انجمادی تحریک شده با تری کروم ماسون.

از بین فولیکول های طبیعی، میزان فولیکول های بدوی بهتر تیب $1/60 \pm 1$ و $7/80 \pm 3$ درصد، فولیکول های اولیه $1/72 \pm 1$ و $4/40 \pm 29$ درصد و فولیکول های در حال رشد $1/66 \pm 0$ و $2/70 \pm 1$ درصد بود. میزان فولیکول های آتریک در گروه کستل $10/76$ درصد در مقابل $15/38$ درصد بود. از این نظر بین دو گروه تفاوت معنی داری مشاهده نشد ($P > 0/05$).

مقایسه درصد فولیکول‌های طبیعی در دو گروه تحریک شده و نشده

درصد فولیکول های طبیعی در مراحل مختلف تکوینی در دو گروه تحریک شده و نشده در جدول ۱ آورده شده است. تعداد کل فولیکول های شمارش شده در گروه تحریک نشده غیر انجامدادی و انجامدادی به ترتیب ۴۴۳ و ۴۵۰ بود که از این میان ۸۹٪ درصد در مقایل ۸۴٪ درصد آنها طبیعی بودند.

جدول ۱ درصد فولیکول‌های طبیعی و آترنیک در مراحل مختلف رشدی در تخمدان تحریک تخمک گذاری شده و نشده

تعداد فولیکول های طبیعی	تعداد فولیکول های آترتبک	تعداد فولیکول های بلوی	تعداد فولیکول های اولبه	تعداد فولیکول های گروه
از کل جامعه فولیکولی	از کل جمجمه فولیکولی	از طبیعی	از طبیعی	از طبیعی
(درصد)	(درصد)	(Means ±SE)	(Means ±SE)	(Means ±SE)
۳۸۳/۴۴۳	۶۰/۴۴۳	۲۶۳/۳۸۳	۱۱۰/۳۸۳	۱۰/۳۸۳
(۸۹/۲۲ درصد)	(۱۰/۷۸ درصد)	(۶۷/۶±۱/۶۰)	(۲۸/۷±۱/۷۲)	(۳/۷±۰/۷۶)
۳۸۲/۴۵۰	۷۸/۴۵۰	۲۶۳/۳۸۲	۱۱۰/۳۸۲	۹/۳۸۲
(۸۴/۶۰ درصد)	(۱۵/۴۰ درصد)	(۶۷/۸±۳/۷۱)	(۲۹/۴±۳/۵۱)	(۲/۷۰±۱/۲۰)
۴۶۳/۵۲۶	۶۳/۵۲۶	۲۲۵/۴۶۳*	۲۱۱/۴۶۳*	۲۴/۴۶۳*
(۸۸/۱۸ درصد)	(۱۱/۸۲ درصد)	(۴۹/۷±۴/۱۳)	(۴۴/۵±۳/۸۳)	(۵/۷±۰/۷۲)
۴۴۷/۵۳۱	۸۴/۵۳۱	۲۲۳/۴۴۷**	۱۹۸/۴۴۷**	۲۷/۴۴۷**
(۸۴/۱۹ درصد)	(۱۵/۸۱ درصد)	(۴۹/۳۴±۲/۸۶)	(۴۴/۷۲±۲/۶۸)	(۵/۹۱±۰/۷۷)

*: وجود اختلاف با گ و تحریک نشده غیر انجامدی، در همان ستون ($P < 0.05$).

*** وجود اختلاف بآگه تجربه نشده انجام شد، همان سهون (P<0.05) ***

نظر درصد فولیکول‌های بدوی، اولیه و ثانویه اختلاف معنی‌دار بود به گونه‌ای که از درصد فولیکول‌های بدوی در گروه تحریک شده کاسته شده ولی بر درصد فولیکول‌های اولیه و ثانویه به افوده شده بود ($P < 0.05$).

بحث

هدف این مطالعه بررسی اثر انجماد شیشه‌ای بر ساختار بافت تخمدان انسانی تحریک شده و نشده بود. مشاهدات ریخت شناسی نشان داد که بافت تخمدانی انسانی، بعد از انجماد ذوب ساختار طبیعی‌شان را حفظ نموده‌اند و بین گروه‌های غیر تحریک، تحریک، تفاوتی، مشاهده نشد. از

تعداد کل فولیکول های شمارش شده در گروه تحریک شده غیر انجامدادی و انجامدادی به ترتیب ۵۲۶ و ۵۳۱ بود که از این میان ۸۷٪ درصد در مقابل ۱۹٪ درصد آن ها طبیعی بودند. از بین فولیکول های طبیعی شمارش شده، میزان فولیکول های بدروی به ترتیب 49 ± 13 و 49 ± 24 درصد، فولیکول های اولیه 44 ± 8 و 44 ± 27 درصد و فولیکول های در حال رشد 5 ± 3 و 5 ± 7 درصد بود. همچنین لازم به ذکر است که میزان فولیکول های آتریک در گروه کترول 10 ± 7 درصد در مقابل 15 ± 8 درصد بود. از این نظر بین دو گروه تفاوت معنی داری مشاهده نشد ($P > 0.05$).
بین گروه تحریک شده و تحریک نشده مشخص شد که از

انجام شیشهای تخدمان انسانی تحریک شده

برای این محلول ضد یخ مطرح نموده است: دلیل اول مربوط به نفوذپذیری بالای آن است که به کارگیری اتیلن گلیکول به عنوان ضد یخ نفوذپذیر با حداقل اثر منفی بر پتانسیل تکوینی فولیکول و تخمک قبلًا تأیید شده است و به کارگیری ساکاروز به عنوان ضد یخ نفوذناپذیر نیز منجر به ایجاد حالت شیشهای و چسبندگی می شود [۲۲] و علت دیگر مربوط به حداقل اثر سمیت این محلول برای حفظ بافت است. بخش دیگری از نتایج تحقیق حاضر نشان داد که اختلاف معنی داری از نظر درصد فولیکول های بدبوی، او لیه و ثانویه (در حال رشد) بین گروه تحریک شده و نشده دیده می شود به گونه ای که از درصد فولیکول های بدبوی و او لیه در گروه تحریک شده کاسته شده ولی بر درصد فولیکول های ثانویه در گروه تحریک شده افزوده شد.

این نتایج بیان گر این است که فرآیند فعالیت رشد فولیکولی در گروه تحریک شده آغاز شده است و تعدادی از فولیکول ها از حالت استراحت خارج شده و فرآیند رشد خود را آغاز نموده اند که این امر می تواند به رشد بعدی آن ها چه در محیط کشت و چه پس از پیوند به شکل اتوگرفت (Xenograft) یا گزنوگرفت (Autograft) کمک کند که نیاز به مطالعه بیشتری در این خصوص دارد.

بنابراین در مجموع این مطالعه نشان داد که انجماد شیشهای تأثیر منفی بر ساختار بافتی تخدمان و بافت استرومای تخدمان تحریک شده ندارد و ساختار آن مشابه گروه غیر تحریکی به خوبی حفظ شده بود و این روش می تواند یک روش مناسب برای حفظ باروری افراد باشد.

تشکر و قدردانی

تحقیق حاضر بخشی از رساله دکترای تخصصی رشته علوم تشریحی مصوب دانشگاه تربیت مدرس است که با حمایت مالی آن دانشگاه به انجام رسیده است.

سوی دیگر؛ مطالعات کمی انجام شده نیز تأیید مشاهدات ریختشناسی بود. با توجه به این که برای اولین بار است که تخدمان تحریک تخمک گذاری شده پس از انجماد و ذوب ارزیابی می شود و با وجود تنوع بیشتر جمعیت فولیکولی در گروه تحریک شده نسبت به گروه غیر انجمادی، با این حال پس از انجماد شیشهای ساختار بافتی تخدمان به خوبی حفظ شده و مشابه بافت غیر انجمادی بود. حفظ بافت تخدمان تحریک شده با تنوع جمعیت فولیکولی می تواند به دلایل متعددی باشد. یکی از این دلایل می تواند مربوط به حضور فولیکول ها در ناحیه قشری تخدمان باشد و با وجود تنوع اندازه فولیکولی در این گروه به علت سطحی قرار گرفتن فولیکول ها نفوذ مواد ضد یخ و محلول های آبدهی راحت تر از مناطق عمقی بافت صورت می گیرد.علاوه بر این؛ بیش از ۹۰ درصد ذخیره فولیکولی در کورتکس تخدمان به طور عمده فولیکول های بدبوی هستند که در حالت استراحت بوده و در خارجی ترین بخش کورتکس و در سطح بافت قرار دارند و به همین دلیل ضد یخ های مورد استفاده در روش انجماد شیشهای بهتر می توانند به کورتکس نفوذ کرده و ساختار بافتی را حفظ کند [۲۲]. این موضوع به حفظ عمده فولیکول های بدبوی کمک می کند به گونه ای که نسبت به بقیه فولیکول ها در مقابل آسیب های ناشی از انجماد مقاوم تر هستند زیرا اندازه این فولیکول ها کوچک است و از متابولیسم نسبتاً پایینی برخوردارند و تخمک آن ها فقط توسط یک لایه سلول پره گرانولوزا احاطه شده است [۳۴، ۳۳].

البته از سوی دیگر ضد یخ های مورد استفاده در این تحقیق اتیلن گلیکول، فایکول (Ficol) و ساکارز بود. کفایت این عامل ها در حفظ و بقای فولیکول ها در تحقیقات قبلی به خوبی نشان داده شده است [۲] و کارآیی این ضد یخ ها در حفظ ساختار بافت تخدمان در گونه های مختلف و نمونه های انسانی در گروه های غیر تحریکی نیز تأیید شده است [۹-۷]. تحقیقات قبلی دو دلیل اصلی

منابع

- [1] Salehnia M. Cryopreservation of Ovarian
23 Modares Journal of Medical Sciences: Pathobiology, Vol. 18 (2015-2016), N0. 3

Tissue. Medical J of Yazd Univ 2003; 11(4): 3-

17. (Persian)
- [2] Salehnia M, Moazzeni SM. Histological study of the effect of vitrification using ethylene glycol as cryoprotectant on the mouse ovarian tissue. *Midde East Fertil Soc J* 2001; 6(3): 233-8.
- [3] Jafarabadi M, Abdollahi M, Salehnia M. Assessment of vitrification outcome by xenotransplantation of ovarian cortex pieces in γ -irradiated mice: morphological and molecular analyses of apoptosis. *J Assist Reprod Genet* 2015; 32(2): 195-205. (Persian)
- [4] Isachenko V, Isachenko E, Kreienberg R, Woriedh M, Weiss J. Human ovarian tissue cryopreservation: quality of follicles as a criteria of effectiveness. *Reprod Biomed Online* 2010; 20(4): 441-2.
- [5] Tian T, Zhao G, Han D, Zhu K, Chen D, Zhang Z, Wei Z, Cao Y, Zhou P. Effects of vitrification cryopreservation on follicular morphology and stress relaxation behaviors of human ovarian tissues:sucrose versus trehalose as the non-permeable protective agent. *Hum Reprod* 2015; 30(4): 877-83.
- [6] Kikuchi I, Kagawa N, Silber S, Isobe Y, Kuwayama M, Takeda S. Successful ovarian vitrification and back-transplantation to preserve fertility in a patient requiring chemotherapy for malignant lymphoma. *J Blood Lymph* 2014; 4(1): 116.
- [7] Zhang J, Liu J, Xu KP, Liu B, DiMattina M. Extracorporeal development and ultrarapid freezing of human fetal ova. *J Assist Reprod Genet* 1995; 12(6): 361-8.
- [8] Isachenko V, Isachenko E, Reinsberg J, Montag M, van der Ven K, Dorn C, Roesing B, van der Ven H. Cryopreservation of human ovarian tissue: comparison of rapid and conventional freezing. *Cryobiology* 2007; 55(3): 261-8.
- [9] Klocke S, Bündgen N, Köster F, Eichenlaub-Ritter U, Griesinger G. Slow-freezing versus vitrification for human ovarian tissue cryopreservation. *Arch Gynecol Obstet* 2015; 291(2): 419-26.
- [10] Wang Y, Xiao Z, Li L, Fan W, Li SW. Novel needle immersed vitrification: a practical and convenient method with potential advantages in mouse and human ovarian tissue cryopreservation. *Hum Reprod* 2008; 23(10): 2256-65.
- [11] Xiao Z, Wang Y, Li L, Luo S, Li SW. Needle immersed vitrification can lower the concentration of cryoprotectant in human ovarian tissue cryopreservation. *Fertil Steril* 2010; 94(6): 2323-8.
- [12] Herraiz S, Novella-Maestre E, Rodríguez B, Díaz C, Sánchez-Serrano M, Mirabet V, Pellicer A. Improving ovarian tissue cryopreservation for oncologic patients: slow freezing versus vitrification, effect of different procedures and devices. *Fertil Steril* 2014; 101(3): 775-84.
- [13] Suzuki N, Yoshioka N, Takae S, Sugishita Y, Tamura M, Hashimoto S, Morimoto Y, Kawamura K. Successful fertility preservation following ovarian tissue vitrification in patients with primary ovarian insufficiency. *Hum Reprod* 2015; 30(3): 608-15.
- [14] Dittrich R, Beckmann MW, Mueller A, Binder H, Hoffmann I, Maltaris T. Uterus cryopreservation: maintenance of uterine

انجام شیشه‌ای تخدمان انسانی تحریک شده

- contractility by the use of different cryoprotocols. *Reprod Domest Anim* 2010; 45(1): 86-91.
- [15] Kagawa N, Silber S, Kuwayama M. Successful vitrification of bovine and human ovarian tissue. *Reprod Biomed Online* 2009; 18(4): 568-77.
- [16] Sheikhi M, Hultenby K, Niklasson B, Lundqvist M, Hovatta O. Clinical grade vitrification of human ovarian tissue: an ultrastructural analysis of follicles and stroma in vitrified tissue. *Hum Reprod* 2011; 26(3): 594-603.
- [17] Fortune JE. The early stages of follicular development: activation of primordial follicles and growth of preantral follicles. *Anim Reprod Sci* 2003; 78(3-4): 135-63.
- [18] Fossum GT, Davidson A, Paulson RJ. Ovarian hyperstimulation inhibits embryo implantation in the mouse. *J In Vitro Fert Embryo Transf* 1989; 6(1): 7-10.
- [19] Macklon NS, Fauser BC. Impact of ovarian hyperstimulation on the luteal phase. *J Reprod Fertil Suppl* 2000; 55: 101-8.
- [20] Bourgoin C, Devroey P. The endometrium in stimulated cycles for IVF. *Hum Reprod Update* 2003; 9(6): 515-22.
- [21] Polan ML, Daniele A, Russell JB, DeCherney AH. Ovulation induction with human menopausal gonadotropin compared to human urinary follicle-stimulating hormone results in a significant shift in follicular fluid androgen levels without discernible differences in granulosa-luteal cell function. *J Clin Endocrinol Metab* 1986; 63(6): 1284-91.
- [22] Brannian J, Eyster K, Mueller BA, Bietz MG, Hansen K. Differential gene expression in human granulosa cells from recombinant FSH versus human menopausal gonadotropin ovarian stimulation protocols. *Reprod Biol Endocrinol* 2010; 8: 25.
- [23] Zhao P, Qiao J, Huang S, Zhang Y, Liu S, Yan LY, Hsueh AJ, Duan EK. Gonadotrophin-induced paracrine regulation of human oocyte maturation by BDNF and GDNF secreted by granulosa cells. *Hum Reprod* 2011; 26(3): 695-702.
- [24] Borgbo T, Povlsen BB, Andersen CY, Borup R, Humaidan P, Grøndahl ML. Comparison of gene expression profiles in granulosa and cumulus cells after ovulation induction with either human chorionic gonadotropin or a gonadotropin-releasing hormone agonist trigger. *Fertil Steril* 2013; 100(4): 994-1001.
- [25] Vuong TN, Phung HT2, Ho MT. Recombinant follicle-stimulating hormone and recombinant luteinizing hormone versus recombinant follicle-stimulating hormone alone during GnRH antagonist ovarian stimulation in patients aged ≥ 35 years: a randomized controlled trial. *Hum Reprod* 2015; 30(5): 1188-95.
- [26] Telfer EE, McLaughlin M, Ding C, Thong KJ. A two-step serum-free culture system supports development of human oocytes from primordial follicles in the presence of activin. *Hum Reprod* 2008; 23(5): 1151-8.
- [27] Abdollahi M, Salehnia M, Salehpour S, Ghorbanmehr N. Human ovarian tissue vitrification/warming has minor effect on the expression of apoptosis-related genes. *Iran Biomed J* 2013; 17(4): 179-86. (Persian)
- [28] Carleton HM. Carletons histological technique. 5th edition, Toronto: Oxford University Press,

- 1980; p: 183.
- [29] Gougeon A. Regulation of ovarian follicular development in primates: facts and hypotheses. *Endocr Rev* 1996; 17(2): 121-55.
- [30] Hansen KR, Craig LB, Zavy MT, Klein NA, Soules MR. Ovarian primordial and nongrowing follicle counts according to the Stages of Reproductive Aging Workshop (STRAW) staging system. *Menopause* 2012; 19(2): 164-71.
- [31] Rodgers RJ, Irving-Rodgers HF. Morphological classification of bovine ovarian follicles. *Reproduction* 2010; 139(2): 309-18.
- [32] Tingen C, Kim A, Woodruff TK. The primordial pool of follicles and nest breakdown in mammalian ovaries. *Mol Hum Reprod* 2009; 15(12): 795-803.
- [33] Amorim CA, Dolmans MM, David A, Jaeger J, Vanacker J, Camboni A, Donneze J, Van Langendonck A. Vitrification and xenografting of human ovarian tissue. *Fertil Steril* 2012; 98(5): 1291-8.e1-2.